

مدل سازی واکنش شکست کاتالیزی سیال بستر

و بررسی پارامترهای فرایندی در تولید بنزین

محمد رضا جعفری نصر^{۱*}، ایمان اقبال حامد^۲

۱- تهران، پژوهشگاه صنعت نفت

۲- تهران، دانشگاه آزاد اسلامی واحد تهران شمال، گروه مهندسی شیمی

پیام نگار: nasrnmrj@ripi.ir

چکیده

در این مقاله ابتدا مدلی برای تخمین تغییرات بازدهی محصولات تولیدی در واحد شکست کاتالیزی سیال بستر^۱ نسبت به زمان، با در نظر گرفتن تابع غیرفعال شدن کاتالیزگر مورد بررسی قرار می‌گیرد. در این روش، مدل سینتیکی چهار لامپ^۲ به همراه داده‌های آزمایشگاهی در دماهای ۴۱۰، ۵۰۰ و ۵۲۰ درجه سلسیوس در یک راکتور آزمایشگاهی کوچک^۳ مورد بررسی قرار گرفته است. همچنین روش دیگری برای تخمین میزان بنزین، گاز و کک تولید شده در فرایندهای شکست کاتالیزی و تغییرات آنها نسبت به زمان و نسبت به میزان تبدیل^۴، مورد بررسی قرار می‌گیرد. در این روش، اطلاعات آزمایشگاهی در مورد تغییرات بازدهی محصولات با زمان که به صورت یک چند جمله‌ای ارائه می‌شود، مورد نیاز می‌باشد. ثابت‌های سینتیکی واکنش و غیرفعال شدن کاتالیزگر برای مدل سینتیکی چهار لامپ در مقاله ارائه شده است و روش پیشنهادی بازدهی محصولات تولیدی در فرایند شکست کاتالیزی سیال بستر را نسبت به داده‌های آزمایشگاهی موجود در منابع، با انحراف کمتر از ۳٪ تخمین می‌زند. در ادامه، تغییرات بازدهی هر یک از محصولات تولیدی نسبت به ارتفاع راکتور مورد بررسی قرار می‌گیرد. در حقیقت، مطالعات بر روی تأثیر تغییرات متغیرهای عملیاتی از جمله نسبت کاتالیزگر به خوارک^۵ یا دمای ورودی کاتالیزگر به راکتور، انجام شده است. شباهت داده‌های به دست آمده از مدل پیشنهادی و داده‌های تجربی به دست آمده از یک واحد صنعتی، اعتبار و صحت مدل ریاضی پیشنهادی را به خوبی اثبات می‌کند. با کمک این مدل و با انجام تغییرات جزئی در پارامترهای مختلف (فشار، ارتفاع، دما و دیگر پارامترها)، تأثیر این عوامل بر رفتار راکتور واحدهای شکست کاتالیزی سیال بستر و میزان بنزین تولیدی توسط این واحدها، مورد بررسی قرار گرفته است.

کلمات کلیدی: مدل سازی واکنش، شکست کاتالیزی، سیال بستر

خوارک برای بخش‌های دیگر استفاده می‌کنند و با انجام عملیات فرایندی بر روی این خوارک‌ها، محصولات سبکتری را به دست می‌آورند. از جمله مهمترین این فرایندها، فرایند شکست کاتالیزی سیال بستر است.

پس از جنگ جهانی اول به سبب گسترش و پیشرفت صنایع و تقاضای روبه رشد انرژی و محصولات نفتی، عرضه این محصولات در

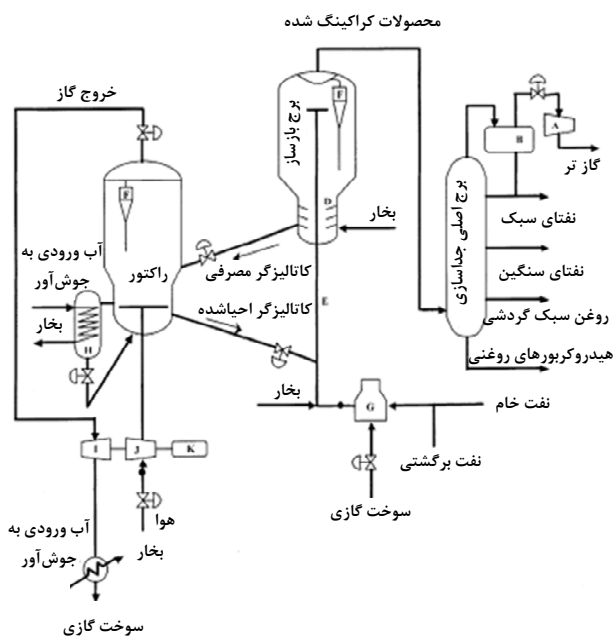
۱- مقدمه

امروزه روند فرایندها در صنعت پالایش نفت در حال حرکت به سمتی است که از باقیمانده عملیات واحدهای متفاوت به عنوان

- 1. Fluid Catalytic Cracking
- 2. 4-Lump
- 3. MAT
- 4. Conversion
- 5. COR

مدل سازی و اکنشن شکست کاتالیزی سیپال بستر و بررسی پارامترهای...
...

تولید محصولات از بخارات هیدروکربن است. در بخش بازیابی^۱ عملیات احیاء شدن کاتالیزگرهای غیر فعال شده صورت می‌گیرد. این عملیات، توسط جریان هوای ورودی از پایین بازساز، که منجر به سوختن کک را سبب شده بر روی سطح کاتالیزگر می‌شود، صورت می‌گیرد. به طور کلی، خوراک در بخش پیش گرم کن^۲ حرارت داده می‌شود و بلافصله ضمن تماس با کاتالیزگرهای گرم به بخار تبدیل می‌گردد. سپس بخارات هیدروکربن در واکنش‌های گرمایگر شکست کاتالیزی شرکت می‌کنند. هیدروکربن‌های سبک‌تر، محصولات اصلی می‌باشند و همچنین کک، محصول جانبی به حساب می‌آید که بر روی سطح کاتالیزگر رسوب می‌کند و فعالیت آن را کاهش می‌دهد. بخار محصولات در قسمت بالای راکتور به بخش جداکننده اصلی^۳ فرستاده می‌شود و در آنجا بر اساس نقطه جوش، اجزای مختلف گاز از یکدیگر جدا می‌شوند. کاتالیزگرهای غیر فعال در دستگاه جداساز گاز از جامد^۴ از بخار محصولات جدا می‌شوند و سپس سقوط کرده بر روی بخش عریان ساز^۵ قرار می‌گیرند.



شکل ۱- واحد شکست کاتالیستی سیا، سنت

بازار، پاسخگوی نیاز نبود. بنابراین دانشمندان پالایش نفت، بتدریج با وارد کردن فرایندهای شکست ملکولی^۱، بالا بردن کیفیت و کمیت محصولات مختلف نفتی را هدف خود قرار دادند و در این امر به پیروزی‌های بزرگی دست یافتنند. این روند همچنان سیر فرایندهای خود را طی می‌کرد تا آنجایی که بین سالهای ۱۹۲۰ تا ۱۹۳۵ میزان بنزین تولیدی از طریق شکست حرارتی^۲ به دو برابر مقدار تولید بنزین از تقطیر نفت خام رسید. به مرور زمان کارشناسان توانستند توسط شکست کاتالیزی^۳، بنزین مرغوب‌تری در مقایسه با شکست حرارتی تولید کنند. این روند از جنگ جهانی دوم ادامه یافت و تاکنون نیز دانشمندان بسیاری سعی در بهبود روش‌های شکست نفت خام و استفاده از فرایندهای جدیدتر و اقتصادی‌تر کرده‌اند.

فرایند شکست کاتالیزی سیال بستر از مهم‌ترین فرایندهای تبدیل در پالایش نفت خام است. اهمیت این روش در صنعت نفت بیشتر به خاطر تولید بنزین است. به طور کلی، در این فرایند محصولات واحدهای دیگر، شامل هیدروکربن‌های ترکیبی با ساختار پیچیده که معمولاً به صورت باقیمانده هستند، به عنوان خوراک وارد این بخش شده و عملیات بر روی این ترکیبات به گونه‌ای انجام می‌گیرد که محصولات خروجی از این بخش برش‌های سبکتری از قبیل بنزین، گاز مایع، سوخت مایع و یا حتی قسمتی از خوراک واحدهای پتروشیمی می‌باشد. در سال ۱۹۲۳ مهندس «اوژن هودری» روش شکست کاتالیزی را ارائه داد و اولین واحد صنعتی آن در ۱۹۳۶ در آمریکا به وسیله شرکت «هودری» ساخته شد. کراکینگ کاتالیزی به دلیل تولید بنزین بیشتر با عدد اکتان بالاتر و تولید کمتر گازهای سبک، توانست به سرعت جایگزین کراکینگ حرارتی شود، زیرا در کشور ما بحث بنزین از اهمیت ویژه‌ای برخوردار است و در نتیجه، بررسی بیشتر این واحدها الزامی است و همچنان در حدود ۴۵٪ از کل بنزین مصرفی جهان توسط این واحدها تولید می‌شود.

واحدهای شکست کاتالیزی سیال بستر از دو بخش اصلی تشکیل شده‌اند:

۱) اکتو، ۲) بازساز

^۵ وظیفه اصلی بخش راکتو، انعام و اکنیشنهای گرماگیر شکست.

6. Regenerator
 7. Feed Pre-Heater
 8. Main Fractionator
 9. Cyclone
 10. Stripping

1. Cracking
 2. Thermal Cracking
 3. Catalytic Cracking
 4. Riser Reactor
 5. Cracking

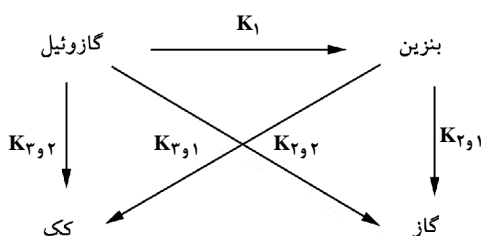
برخی دیگر از محصولات است. مارتبین، یک مدل پنج لامپ را در سال ۱۹۹۹ [۱۴] ارائه کرد. از آنجایی که این مدل می‌تواند میزان محصولات مهم این واکنش را تخمین بزنند، مدل بهتری به نظر می‌رسید.

یک مدل سینتیکی شش لامپ (گازوئیل برج خلا^۱- روغن سنگین گردشی^۲- روغن سبک گردشی^۳- بنزین- گاز- کک) را در سال ۱۹۸۷ [۱۶] تاکاتسوکا مورد استفاده قرار داد.

مدل پیشنهادی ده لامپ ارائه شده توسط ژاکوب در سال ۱۹۷۶ [۱۲] خوراک را در هشت لامپ شاخص‌بندی می‌کند. مدل ده لامپ توانایی خوبی در زمینه کنترل محصولات دارد. همچنین، این مدل نتایج بسیار خوبی در مورد میزان بنزین و کک تولیدی در اختیار ما قرار می‌دهد.

۲- مدل‌های سینتیکی

مدل پیشنهادی چهار لامپ توسط لی و چن (۱۹۸۷) کک را به عنوان یک لامپ جداگانه از گازها در نظر می‌گیرد.



شکل ۲- مدل سینتیکی چهار لامپ [۱۳]

برای شکست خوراک (y_1) سرعت واکنش از نوع مرتبه دوم فرض می‌شود که به صورت زیر بیان می‌گردد:

$$\frac{dy_1}{dt} = -k_1 \cdot y_1^2 \quad (1)$$

$$k_1 = k_1 + k_3 \quad (2)$$

برای شکست بنزین (y_2) سرعت واکنش به صورت مرتبه اول فرض می‌شود.

هیدروکربن‌های باقی مانده بر روی سطح کاتالیزگر توسط جریانی از بخار جدا می‌شوند. سپس کاتالیزگرهای توسط خطوط انتقال به احیا کننده فرستاده می‌شوند. در داخل احیا کننده کک رسوب کرده بر روی سطح کاتالیزگر توسط جریان هوا ورودی در داخل احیا کننده سوزانده می‌شود. این واکنش احتراقی برای فعال کردن کاتالیزگر و تامین گرمای مورد نیاز برای تبخیر خوراک و انجام واکنش‌های شکست در داخل راکتور مورد استفاده قرار می‌گیرد. کاتالیزگرهای احیا شده از طریق خطوط انتقال دیگری به پایین راکتور وارد می‌شوند.

در زمینه مدلسازی واحدهای شکست کاتالیزی سیال بستر مدل‌های پیشنهادی بسیاری توسط پژوهشگران مختلف ارائه شده‌اند. بسیاری از کارهای انجام شده بر روی این واحدها بر مبنای اجرای مدل‌های بوده است که ترکیبات را در دسته‌های گوناگونی مرتب نموده و گروههای محصولات را پایه‌گذاری کرده و به بررسی روابط بین آنها پرداخته است که به مدل‌های لامپ موسوم‌اند. از طرفی پیچیدگی خاصی که در مخلوط خوراک وجود دارد، سینتیک هر کدام از واکنش‌هایی که در این فرایند رخ می‌دهند با لامپ کردن تعداد زیادی از ترکیبات شیمیایی قابل دستیابی است. تعداد لامپ‌های مدل‌های پیشنهادی برای واکنش‌های شکست کاتالیزی با توجه به بررسی بیشتر جزئیات محصولات افزایش می‌یابد.

اولین مدل لامپ برای واحدهای شکست کاتالیستی سیال بستر مدل سه لامپ بود که توسط ویک من در سال ۱۹۶۸ [۱۷] ارائه شد. در این مدل سه ثابت سرعت واکنش k_1 ، k_2 و k_3 وجود دارد. لامپ‌ها شامل واکنش‌دهنده‌ها و تمام محصولات، به سه گروه اصلی تقسیم می‌شوند که عبارتند از: خوراک، بنزین و مجموع کک و گازهای سبک. باید توجه داشت که با افزایش تعداد لامپ‌ها، ثابت‌های سرعت واکنش نیز افزایش می‌یابد و نیاز به کار آزمایشگاهی ضروری می‌گردد.

مدل چهار لامپ ارائه شده توسط لی^۱ در سال ۱۹۸۹ [۱۳] شامل پنج ثابت سرعت است. این مدل، از قابلیت مدل کردن بازساز نیز برخوردار است. مشکل اساسی مدل چهار لامپ بیشتر مربوط به عدم توانایی این مدل در تخمین گاز خشک^۲ و مخلوط پروپان و بوتان^۳ و

4. VGO
5. HCO
6. LCO

1. Lee
2. Dry Gas
3. LPG

$$\varphi = \exp(-k_d t_c)$$

$$(A) \quad dy_2/dt = (k_1 y_1^2 - k_2 y_2) \varphi \quad (3)$$

مطالعات واکنش‌های کاتالیزی بر اساس لامپ کردن صورت می‌گیرد. اما نقطه ضعف چنین مدل‌هایی این است که ثابت‌های سینتیکی، تابع خواص خوارک و کاتالیزگرهای مورد استفاده در آزمایش می‌باشند. برای تخمین ثابت‌های سینتیکی، آزمایش‌ها در یک راکتور ثابت بستر^۳ صورت می‌گیرند. مقدار سرعت فضایی جرمی^۴ در این آزمایش بین (۱^{-۱} h)^{-۱} ۵-۵۰ در نظر گرفته شده و نسبت کاتالیزگر به خوارک ورودی به راکتور^۵ است.

در جدول (۱) پارامترهای سینتیکی در دمای ۵۰۰°C ارائه شده است.

حال با در دست داشتن مقادیر ثابت‌های سینتیکی، معادلات دیفرانسیل را تشکیل داده و سپس به کمک نرم‌افزار مطلب^۶ معادلات را حل می‌کنیم. در انتهای کار، نتایج حاصل از حل مدل پیشنهادی و مقادیر آزمایشگاهی با یکدیگر مقایسه می‌شوند.

$$k_2 = k_{2,1} + k_{2,2} \quad (4)$$

$$k_3 = k_{3,1} + k_{3,2} \quad (5)$$

میزان گاز (y₂) و کک (y₄) تولید شده را می‌توان با استفاده از روابط زیر بررسی کرد.

$$dy_2/dt = (k_{2,1} y_1^2 + k_{2,2} y_2) \varphi \quad (6)$$

$$dy_4/dt = (k_{3,1} y_1^2 + k_{3,2} y_2) \varphi \quad (7)$$

در این مقاله نرخ غیرفعال شدن کاتالیزگرهای بصورت غیرگزینشی^۱ در نظر گرفته می‌شود. این بدان معناست که تابع غیرفعال شدن کاتالیزگر برای تمام واکنش‌ها یکسان در نظر گرفته می‌شود.

جدول ۱- ثوابت سینتیکی واکنش در دمای ۵۰۰°C [۳]

پارامتر	واکنش	۲ لامپ	۴ لامپ (SS ^a)	۵ لامپ	۴ لامپ (OE ^a)
k_1	بنزین → گازوئیل	$0/1942$	$0/1942$	$0/1942$	$0/1947$
k_2	کک+گاز → بنزین	$0/0093$			
$k_{2,1}$	گاز → بنزین		$0/0093$		$0/0089$
$k_{2,2}$	پروپان و بوتان → بنزین			$0/0061$	
$k_{2,3}$	گاز خشک → بنزین			$0/0032$	
$k_{2,4}$	کک → بنزین				1×10^{-8}
k_3	کک+گاز → گازوئیل	$0/0488$			
$k_{3,1}$	گاز → گازوئیل		$0/0348$		$0/0365$
$k_{3,2}$	پروپان و بوتان → گازوئیل			$0/0357$	
$k_{3,3}$	گاز خشک → گازوئیل			$0/0001$	
$k_{3,4}$	کک → گازوئیل			$0/0140$	$0/0139$
k_4	گاز خشک → پروپان و بوتان			$0/0020$	
k_d				$0/0875$	$0/0874$

1. Non-Selective

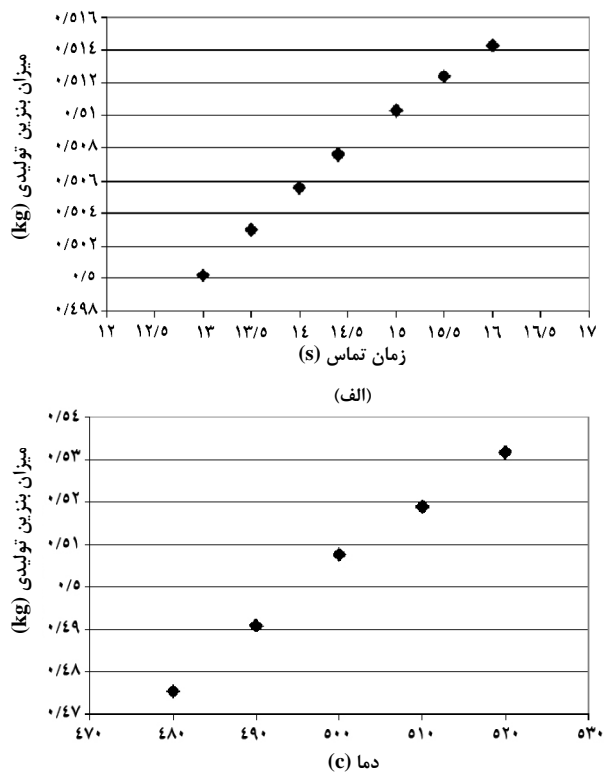
2. MAT

3. WHSV (Weight Hourly Space Velocity)

4. COR

5. MATLAB

در نمودارهای ارائه شده در مرجع [۳] مقایسه بین مقادیر تخمین زده شده توسط مدل ریاضی و نتایج آزمایشگاهی برای خوارک، بنزین، گاز و کک در مدل سینتیکی چهار لامپ نشان داده شده‌اند. میزان خطای استاندارد تخمین زده شده برای تمامی محصولات کمتر از ۲/۵٪ است. در این بخش، با استفاده از تغییرات جزئی در مقادیر زمان و دما تأثیر این دو پارامتر بر عملکرد راکتور واحدهای شکست کاتالیزی سیال بستر و میزان تولید بنزین، بررسی شده است.



شکل ۲- میزان بنزین تولیدی بر اساس تغییرات

زمان تماس (الف) و دما (ب)

به طوری که ملاحظه می‌شود با افزایش زمان تماس بین ذرات کاتالیزگر و بخارات هیدروکربن، میزان تولید بنزین افزایش می‌یابد (نمودار (الف)). اما باید به این نکته توجه داشت که در این حالت، تمام پارامترهای دیگر ثابت فرض شده اند و تنها میزان زمان تماس تغییر کرده است. به عبارتی، هدف از این تغییرات، بررسی هر یک از عوامل مختلف به طور مجزا، بر روی عملکرد واحدهای شکست کاتالیزی سیال بستر می‌باشد و همان طور که مشخص است، افزایش بیش از حد زمان تماس بین بخارات هیدروکربن و ذرات کاتالیزگر

$$\frac{dy_1}{dt} = -0.243 y_1^2 \exp(-0.0875 t_c) \quad (9)$$

$$\frac{dy_2}{dt} = [0.1942 y_1^2 - 0.0093 y_1] \exp(-0.0875 t_c) \quad (10)$$

$$\frac{dy_3}{dt} = [0.0348 y_1^2 + 0.0093 y_2] \exp(-0.0875 t_c) \quad (11)$$

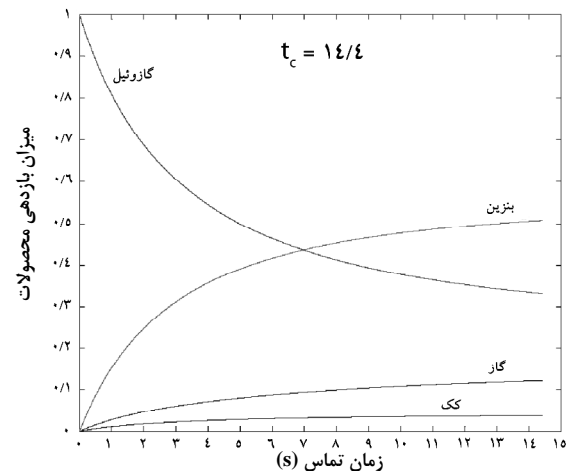
$$\frac{dy_4}{dt} = [0.014 y_1^2 + 2 \times 10^{-8} y_3] \exp(-0.0875 t_c) \quad (12)$$

$$y_1(0) = 1$$

$$y_2(0) = y_3(0) = y_4(0) = 0$$

با توجه به مقادیر سرعت فضایی و نسبت کاتالیزگر به خوارک ورودی به راکتور که به ترتیب (h^{-1}) ۵-۵ و ۵ می‌باشند و نیز با استفاده از معادله (۱۳)، محاسبات در زمان‌های $14/4$ و 144 ثانیه انجام می‌شوند.

$$t_c(s) = \text{WHSV} / (3600 \times \text{COR}) \quad (13)$$



شکل ۱- تغییرات میزان بازدهی محصولات

بر اساس زمان تماس

تخمین زده می شوند. تغییرات داده های آزمایشگاهی بازدهی محصولات با زمان می تواند با استفاده از توابع چند جمله ای زیر به دست آید:

$$y_i = a_{i,0} + a_{i,1} t + a_{i,2} t^2 + \dots + a_{i,n} t^n \quad (14)$$

$$\dot{y}_i = dy_i/dt = a_{i,1} + 2a_{i,2} t + \dots + n.a_{i,n} t^{n-1} \quad (15)$$

از ترکیب روابط (۱) و (۳) و (۶) و (۷) با معادلات ارائه شده در بالا می توان روابط زیر را به دست آورد:

$$-[(\dot{y}_1 + \dot{y}_2)/y_2] = k_{21}\varphi + k_{22}\varphi(y_1^2/y_2) \quad (16)$$

$$-[(\dot{y}_1 + \dot{y}_2)/y_1] = -k_{21}\varphi - k_{12}\varphi(y_1^2/y_2) \quad (17)$$

$$-[(\dot{y}_1 + \dot{y}_2)/y_1] = -k_{21}\varphi + (k_{12}\varphi + k_{22}\varphi)(y_1^2/y_2) \quad (18)$$

عبارات سمت چپ معادلات بالا از روی معادلات (۱۴) و (۱۵) مشخص می شود که این امر با توجه به داده های آزمایشگاهی صورت می گیرد. با توجه به شبیه معادلات (۱۶) تا (۱۸) و روابط زیر، مقادیر $(k_i\varphi)$ به دست می آیند.

$$k_1\varphi = k_{12}\varphi + k_{22}\varphi \quad (19)$$

$$k_{21}\varphi = k_{21}\varphi + k_{22}\varphi \quad (20)$$

$$k_{22}\varphi = k_{21}\varphi + k_{12}\varphi \quad (21)$$

اطلاعات آزمایشگاهی در دمای $548/90^\circ\text{C}$ و میزان $\text{COR}=4$ توسط وانگ در جدول (۲) ارائه شده است.

منجر به انجام واکنش های جانبی شده و بنزین به کک تبدیل می گردد از طرفی، به طوری که ملاحظه می شود با افزایش دمای درون راکتور، به دلیل سهولت در تأمین گرمای مورد نیاز برای انجام واکنش های گرمائی شکست کاتالیزی، میزان تولید بنزین افزایش می یابد (نمودار (ب)). اما همان طور که اشاره شد، این بدان معنا نیست که در واحد های شکست کاتالیزی افزایش دما مطلقاً بنزین بیشتری را تولید خواهد کرد، بلکه بدین مفهوم است که افزایش بنزین به کک می گردد.

۳- روش ساده تخمین بازدهی محصولات

در این مرحله روش ساده ای برای تخمین بازدهی بنزین، گاز و کک در فرایند شکست کاتالیزی ارائه می شود. این روش، تنها به اطلاعات آزمایشگاهی درباره تغییرات بازدهی محصولات با زمان نیاز دارد که از یک چند جمله ای مرتبه سوم^۱ استفاده می شود. از آنجایی که خوراک این واحدها شامل هزاران ترکیب شیمیایی است، تخمین دقیق ثابت های سینتیکی، کار بسیار مشکلی است. بنابراین، لامپ کردن ترکیبات با توجه به محدوده نقطه جوش آنها به طور وسیعی مورد استفاده قرار می گیرد. بیشتر مدل های سینتیکی در مقالات برای تخمین بازدهی محصولات، تنها از تعداد محدودی لامپ استفاده می کنند. این امر بدان دلیل است که با زیاد شدن تعداد لامپ ها نیاز به اطلاعات آزمایشگاهی برای تخمین پارامترهای سینتیکی افزایش می یابد.

سرعت واکنش خوراک، مرتبه دوم و سرعت واکنش بنزین مرتبه اول فرض می شود. معادلات سرعت واکنش مبتنی برتابع غیرفعال شدن کاتالیزگر است. تابع غیرفعال شدن کاتالیزگر برای تمام واکنش هایکسان فرض می شود.^۲

پارامترهای سینتیکی با استفاده از روابط (۱) و (۳) و (۶) و (۷)

جدول ۲- مقادیر بازدهی محصولات بر اساس سرعت فضایی جرمی [۴]

بازدهی کک (wt%)	بازدهی گاز (wt%)	بازدهی کازوژیل (wt%)	میزان تبدیل (h ⁻¹)	سرعت فضایی (m/s)	میزان
۷/۱۴	۲۱/۰۸	۵۴/۱۶	۱۷/۶۲	۸۲/۳۸	۱۰
۵/۷۲	۱۶/۸۱	۴۸/۶۵	۲۸/۸۲	۷۱/۱۸	۲۰
۴/۵۹	۱۳/۶۰	۴۳/۸۵	۳۷/۹۶	۶۲/۰۴	۳۰
۲/۷۴	۸/۸۵	۳۷/۶۷	۵۰/۷۴	۴۹/۲۶	۶۰

تعیین تغییرات بازدهی هر یک از محصولات نسبت به زمان از روابط ۲۵ تا ۲۵ مشتق می‌گیریم که در نتیجه روابط زیر حاصل می‌شوند.

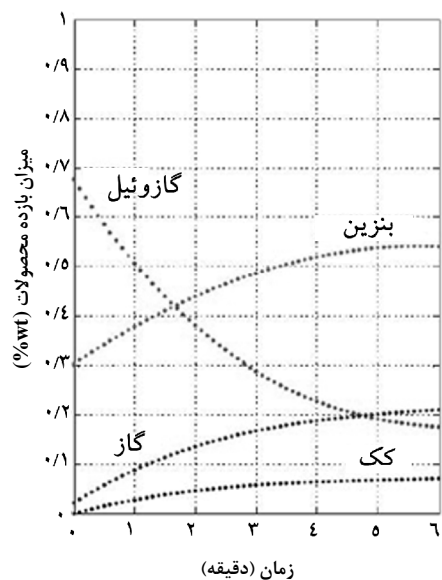
$$y_1 = -0.1927 + 0.4764t - 0.00281t^3 \quad (26)$$

$$y_2 = 0.8138 - 0.1258t - 0.00031t^3 \quad (27)$$

$$y_3 = 0.11132 - 0.3506t + 0.000311t^3 \quad (28)$$

$$y_4 = 0.7771 - 0.2316t + 0.000194t^3 \quad (29)$$

با استفاده از نرم افزار مطلب نتایج زیر به دست می‌آید.



شکل ۳- تغییرات میزان بازدهی محصولات
بر اساس زمان تماس

تغییرات میزان تبدیل بنزن، گاز و کک بر حسب سرعت فضایی جرمی در این جدول نشان داده شده است. براساس داده‌های جدول (۲) و با استفاده از یک چند جمله‌ای مرتبه سوم رابطه بین بازدهی هر یک از محصولات با زمان بیان می‌شود.

$$y_1 = 0.677722 - 1.92703 \times 10^{-1}t + 2.382 \times 10^{-3}t^2 - 9.36667 \times 10^{-4}t^3 \quad (22)$$

$$y_2 = 0.30171 + 8.13817 \times 10^{-1}t - 6.29 \times 10^{-3}t^2 - 1.0667 \times 10^{-4}t^3 \quad (23)$$

$$y_3 = 0.02107 + 1.11322 \times 10^{-1}t - 1.753 \times 10^{-3}t^2 + 1.03833 \times 10^{-4}t^3 \quad (24)$$

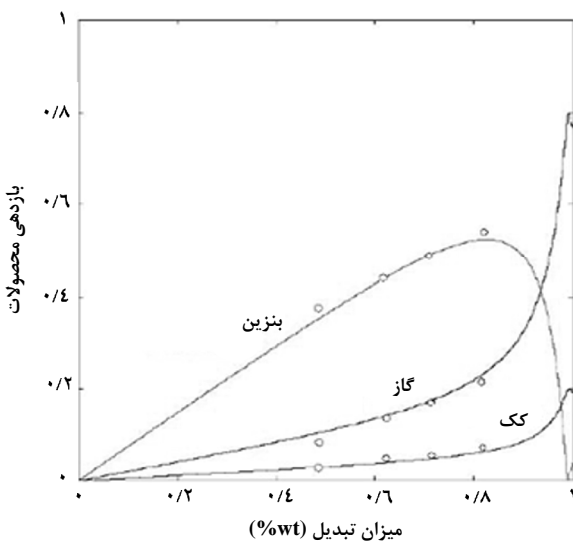
$$y_4 = 0.02172 + 7.77133 \times 10^{-1}t - 1.158 \times 10^{-3}t^2 + 6.46667 \times 10^{-4}t^3 \quad (25)$$

حال با توجه به معادلات موجود و مقادیر سرعت فضایی جرمی (h^{-1})، می‌توان مقدار زمان را محاسبه و در معادلات جایگذاری کرد.

نتیجه‌ای که به دست می‌آید این است که با افزایش میزان سرعت فضایی جرمی، به دلیل کاهش مدت اقامت خوراک در داخل راکتور بالابر، مقدار تبدیل و در نتیجه بازدهی هر یک از محصولات کاهش می‌یابد. از طرفی ملاحظه می‌شود که میزان اختلاف بین داده‌های آزمایشگاهی و مقادیر محاسبه شده توسط مدل چند جمله‌ای مرتبه سوم، صفر است. به عبارتی، با توجه به مدل پیشنهادی می‌توان به تمامی مقادیر جدول مذکور دست یافت. لذا می‌توان نتیجه گرفت که مدل ریاضی چند جمله‌ای مرتبه سوم مدل مناسبی است. برای

جدول ۳- مقادیر بازدهی محصولات بر اساس سرعت فضایی جرمی

Y _{۲۲} (%)	Y _{۲۱} (%)	Y _۳ (%)	Y _۴ (%)	Y _۱ (%)	X(%)	سرعت فضایی
۷/۱۴	۲۱/۰۸	۲۸/۲۲	۵۴/۱۶	۱۷/۶۲	۸۲/۳۸	۱۰
۵/۷۲	۱۶/۸۱	۲۲/۵۳	۴۸/۶۵	۲۸/۸۲	۷۱/۱۸	۲۰
۴/۵۹	۱۳/۶۰	۱۸/۱۹	۴۳/۸۵	۳۷/۹۶	۶۲/۰۴	۳۰
۲/۷۴	۸/۸۵	۱۱/۰۹	۳۷/۶۷	۵۰/۷۴	۴۹/۲۶	۶۰



شکل ۴- تغییرات بازدهی محصولات بر اساس میزان تبدیل

ملاحظه می‌شود که پارامترهای سینتیکی به دست آمده از روش پیشنهادی، مقادیر بازدهی هر یک از محصولات را به طور بسیار دقیقی با انحراف کمتر از ۳٪ تخمین می‌زنند. نتیجه به دست آمده این است که با توجه به شرایط آزمایشگاهی مورد نظر، بهترین میزان برای درصد تبدیل در حدود ۸۰٪ است و افزایش بیشتر آن از نقطه نظر تولید بیشتر بنزن، مطلوب نیست.

۵- تخمین تغییرات بازدهی محصولات بر حسب ارتفاع یک مدل برای شرح رفتار دینامیکی راکتور بالابر در واحد شکست کاتالیزی سیال بستر ارائه شده است. واکنش‌های شکست بر اساس مدل سینتیکی چهار لامپ شبیه سازی شده اند. در جدولی که در زیر ارائه شده است شرایط عملیاتی و خواص فیزیکی واحد FCC مورد بحث، مشاهده می‌شود:

جدول ۴- شرایط فیزیکی واحد شکست کاتالیزی سیال بستر [۱۱]

قطر (m)	طول (m)	خواص فیزیکی \ نوع راکتور
۰/۸	۳۳	راکتور بالابر
دمای ورودی (K)	شدت جریان جرمی (kg/s)	ورودی
۴۹۴	۱۹/۹۵	گازوئیل
۳۷۸	۱۵/۸	هوا
-	۱۴۴/۱۵	کاتالیزگر

۴- تخمین تغییرات بازدهی محصولات بر اساس میزان تبدیل

رابطه تغییرات بازدهی محصولات بر حسب میزان تبدیل، از تقسیم کردن معادلات (۳) و (۶) و (۷) بر معادله (۱) به دست می‌آید.

نتیجه آن در معادلات زیر مشاهده می‌شود. ($x = 1 - y_1$)

$$\frac{dy_2}{dx} = (k_1\varphi/k.\varphi) - (k_2\varphi/k.\varphi)(y_2/y_1^2) = r_1 - r_2(y_2/y_1^2) \quad (30)$$

$$\frac{dy_{31}}{dx} = (k_{31}\varphi/k.\varphi) + (k_{32}\varphi/k.\varphi)(y_2/y_1^2) = r_{31} + r_{21}(y_2/y_1^2) \quad (31)$$

$$\frac{dy_{32}}{dx} = (k_{32}/k.\varphi) + (k_{22}\varphi/k.\varphi)(y_2/y_1^2) = r_{32} + r_{22}(y_2/y_1^2) \quad (32)$$

حال با توجه به مقادیر ارائه شده برای ($k_i\varphi$) :

$$(k_1\varphi = ۰/۷۱۱۶, k_2\varphi = ۰/۰۴۳۸, k_{31}\varphi = ۰/۲۴۵۸,$$

$$k_{21}\varphi = ۰/۰۳۵۴, k_{32}\varphi = ۰/۰۵۴۴, k_{22}\varphi = ۰/۰۰۸۴,$$

$$k_{31}\varphi = ۰/۱۹۱۴)$$

مقادیر r_1 تا r_{32} با استفاده از معادلات زیر محاسبه می‌شوند.

$$r_1 = k_1\varphi/k.\varphi = k_1/k. \quad (33)$$

$$r_2 = k_2\varphi/k.\varphi = k_2/k. \quad (34)$$

$$r_{21} = k_{21}\varphi/k.\varphi = k_{21}/k. \quad (35)$$

$$r_{22} = k_{22}\varphi/k.\varphi = k_{22}/k. \quad (36)$$

$$r_{31} = k_{31}\varphi/k.\varphi = k_{31}/k. \quad (37)$$

$$r_{32} = k_{32}\varphi/k.\varphi = k_{32}/k. \quad (38)$$

در شکل (۴)، مقادیر آزمایشگاهی و مقادیری که از مدل به دست آمده‌اند ملاحظه می‌شوند.

حال با توجه به مقادیر E, K ، براساس رابطه آرنیوس

$$K = K_0 e^{\left(\frac{-E}{RT}\right)}$$

آمدن ثابت‌های سرعت، معادلات دیفرانسیل مربوط به واحد شکست کاتالیزی سیال بستر مذکور تشکیل می‌شوند و با استفاده از نرم‌افزار مطلب، می‌توان معادلات دیفرانسیل را حل کرد و نتایج به دست

آمده را با مقادیر موجود در مقاله مقایسه نمود.

واحد شکست کاتالیزی سیال بستر مذکور در چهار حالت مختلف مورد بررسی قرار گرفته است. مقادیر به دست آمده در هر کدام از این چهار حالت در جدول زیر ارائه شده‌اند.

مدل مربوط به تغییرات بازدهی هر یک از محصولات بر اساس ارتفاع راکتور، در زیر ارائه شده است.

$$\frac{dy_1}{dz} + (\phi_R A_R \epsilon_{gR} L_R f_{gR}/F_{gR}) [k_{12} + k_{13} + k_{14}] y_1 = 0 \quad (39)$$

$$\frac{dy_2}{dz} + (\phi_R A_R \epsilon_{gR} L_R f_{gR}/F_{gR}) [(k_{23} + k_{24}) y_2 - k_{12} y_1] = 0 \quad (40)$$

$$\frac{dy_3}{dz} - (\phi_R A_R \epsilon_{gR} L_R f_{gR}/F_{gR}) [k_{23} y_2 + k_{13} y_1] = 0 \quad (41)$$

$$\frac{dy_4}{dz} - (\phi_R A_R \epsilon_{gR} L_R f_{gR}/F_{gR}) [k_{24} y_2 + k_{14} y_1] = 0 \quad (42)$$

همچنین مقادیر E, K در جدول زیر ارائه شده است.

جدول ۵- مقادیر انرژی فعالسازی و k_0 [۱۱]

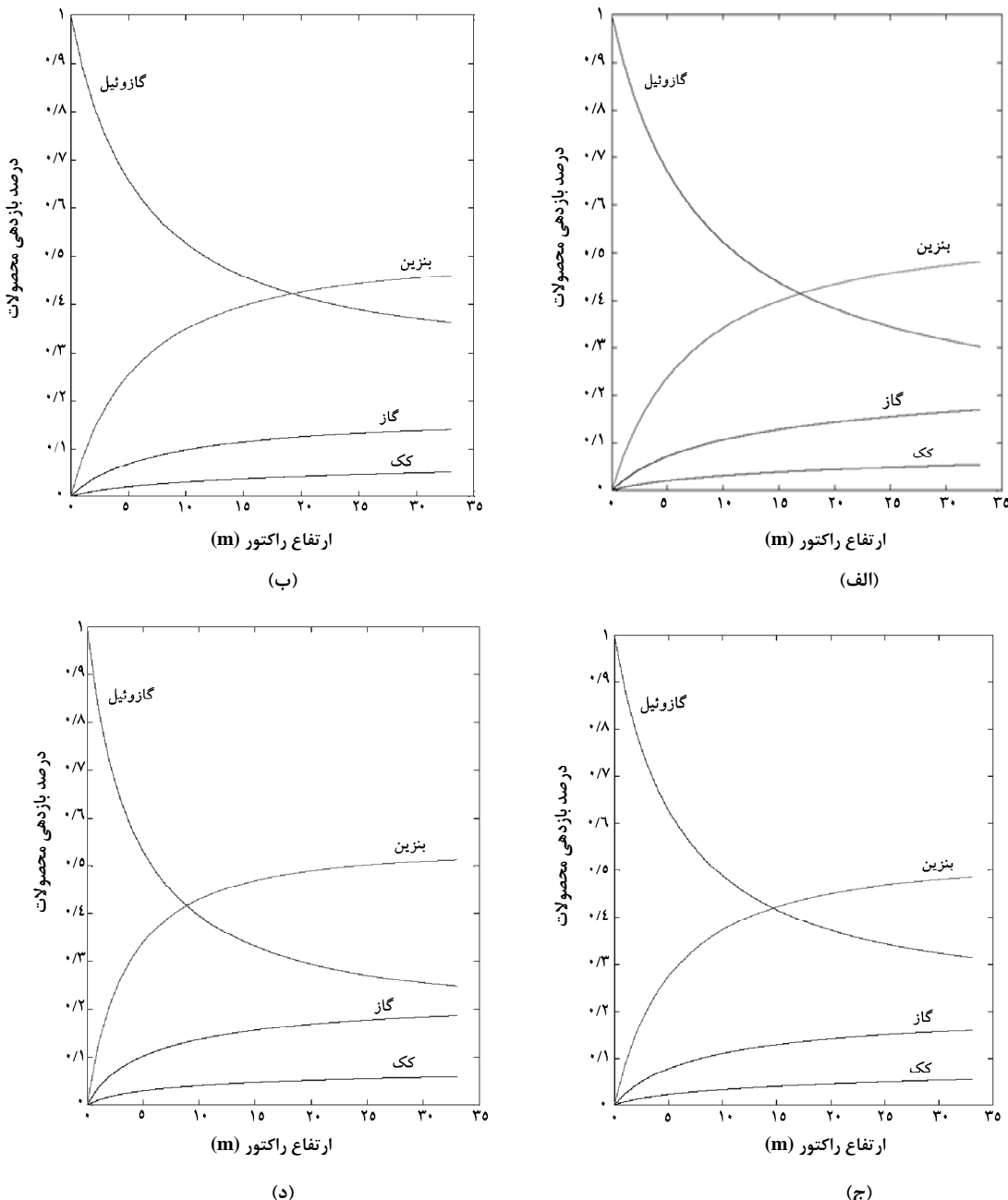
انرژی فعالسازی (kJ/mol)	ضریب تابع نمایی (k_0)	واکنش
۶۸/۲۴۹۵	۲۲۱/۶۱ (m ^۳ /kg.s)	گازوئیل + بنزین
۶۴/۵۷۵۰	۱۰/۴۵ (m ^۳ /kg.s)	گازوئیل + کک
۸۹/۲۱۶۴	۱۲۶۳/۶۱ (m ^۳ /kg.s)	گازوئیل + گازهای سبک
۱۱۵/۴۵۸	۲۲۱۰/۲۸ (s ^{-۱})	بنزین + کک
۵۲/۷۱۸۴	۰/۹۰۴ (s ^{-۱})	بنزین + گازهای سبک
۲۲۴/۹۹	$10^8 \times ۱/۴$ (m ^۳ /kmol.s)	سوختن کک
۷۰/۷۴	۲۴۷/۷۵ ((m ^۳) ^{۱/۴} / (kmol) ^{۱/۴} .s)	کاتالیزگر کمکی

جدول ۶- شرایط عملیاتی و مقایسه میزان انحراف در هر یک از چهار حالت مذکور [۱۱]

حالت ۴	حالت ۳	حالت ۲	حالت ۱	شرایط عملیاتی								
۱۹/۹۵	۲۳/۶۱	۲۶/۹۳	۲۵/۷	شدت جریان خوراک (kg/s)								
۲۲/۲۸	۲۲/۷۳	۲۲/۹۸	۲۱/۷۶	ظرفیت خوراک (API)								
۲۴/۷	۶/۰۷	۵/۴۳	۶/۳۳	COR								
dev%	plant	Cal%	dev%	plant	Cal%	dev%	plant	Cal%	dev%	plant	Cal%	میدان انحراف در راکتور بالابر بازدهی بنزین
۱۴/۴۶	۴۳/۸۸	۵۱/۳	۱۳/۸۷	۴۱/۷۸	۴۸/۵۱	۶/۹	۴۲/۷۹	۴۵/۹۶	۲/۳۱	۴۶/۹	۴۸/۰۱	
-۰/۶۹	۵/۸۳	۵/۷۹	-۳/۸۷	۵/۶۹	۵/۴۷	-۵/۸۹	۵/۴۳	۵/۱۱	۱/۲۹	۵/۳۴	۵/۴۱	کک
۵/۶۹	۷۹۵	۸۴۳	۳/۴۷	۸۰۶	۸۳۵	۲/۵۴	۸۰۵	۸۲۶	۴/۳۸	۸۰۸	۸۴۵	(K) دما

*محاسبات: cal: واحد صنعتی plant: میزان درصد اختلاف: dev:

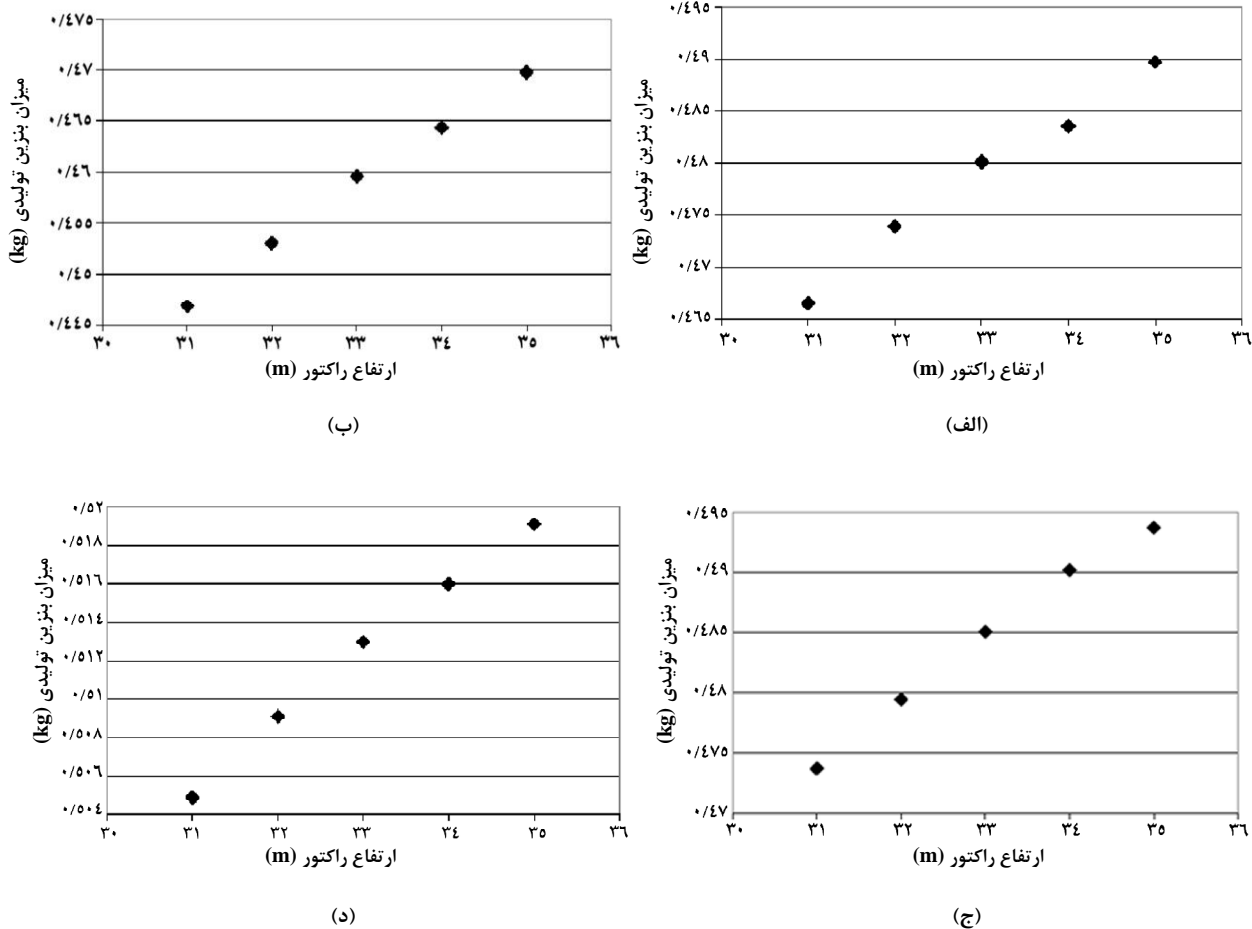
مدل سازی و اکنش شکست کاتالیزی سیال بستر و بررسی پارامترهای...



شکل ۵- تغییرات بازدهی محصولات بر اساس ارتفاع راکتور برای هریک از حالت‌های اول تا چهارم ارائه شده در جدول (۶)
 (الف) نتایج مدل با توجه به شرایط عملیاتی حالت اول (ب) نتایج مدل با توجه به شرایط عملیاتی حالت دوم
 (ج) نتایج مدل با توجه شرایط عملیاتی حالت سوم (د) نتایج مدل با توجه شرایط عملیاتی حالت چهارم

بر عملکرد راکتور واحدهای شکست کاتالیزی و میزان تولید بنزین بررسی می‌شود. اما باید توجه داشت جهت بررسی تاثیر مجزای پارامترها، تمام پارامترهای دیگر ثابت فرض شده‌اند.

به طوری که ملاحظه می‌شود مقادیر قابل قبولی در رابطه با مقایسه بین نتایج آزمایشگاهی و نتایج حاصل از مدل ریاضی به دست آمده‌اند. در این بخش با استفاده از تغییرات جزئی در مقادیر ارتفاع راکتور، قطر راکتور، فشار و سایر شرایط عملیاتی، تاثیر این پارامترها



شکل ۶- میزان بنزین تولیدی بر اساس تغییر ارتفاع راکتور برای هریک از حالت‌های اول تا چهارم
 (الف) نتایج مدل با توجه به شرایط عملیاتی حالت اول (ب) نتایج مدل با توجه به شرایط عملیاتی حالت دوم
 (ج) نتایج مدل با توجه شرایط عملیاتی حالت سوم (د) نتایج مدل با توجه شرایط عملیاتی حالت چهارم

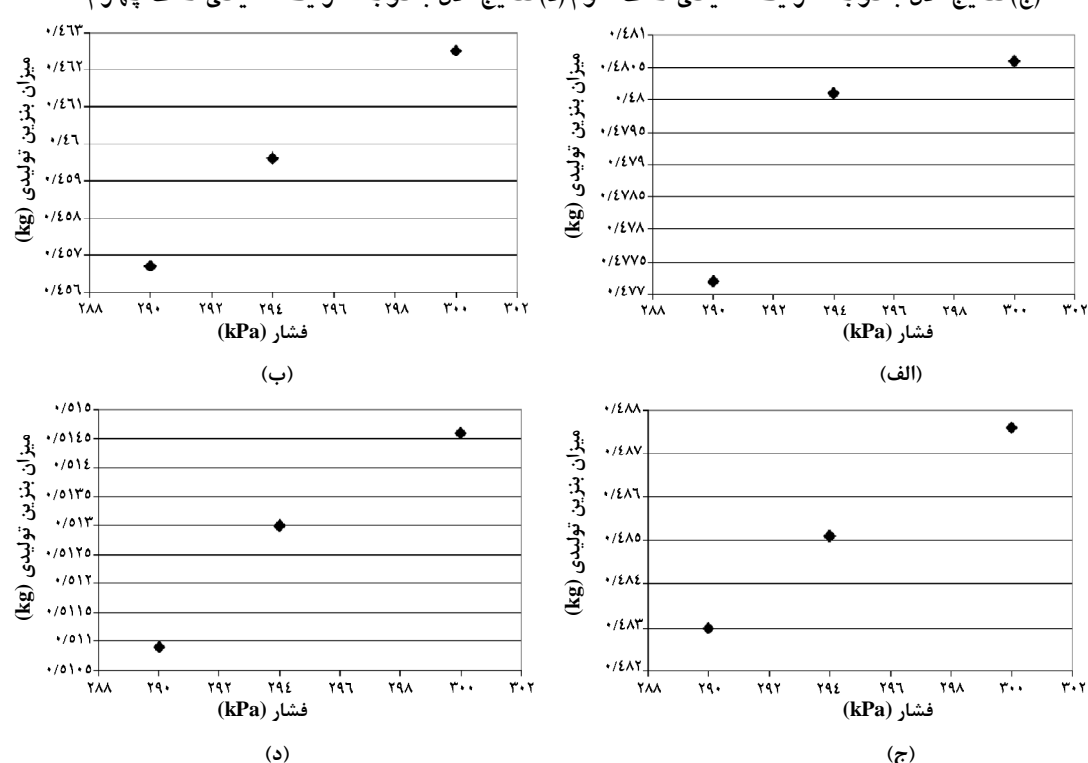
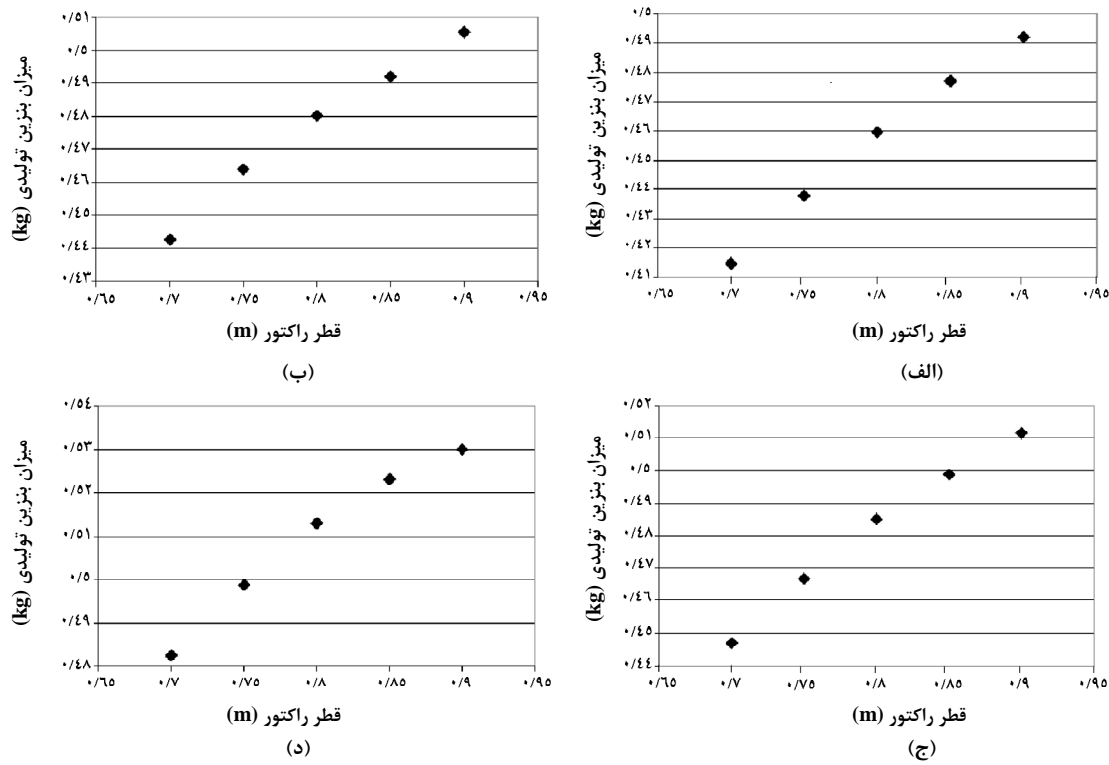
افزایش میزان بخار آب ورودی از پایین راکتور منجر به تغییر در فشار جزئی بخارات هیدروکربن می‌شود و میزان تبدیل را کاهش می‌دهد که منجر به کاهش مقدار بنزین تولیدی می‌شود (شکل (۹)).

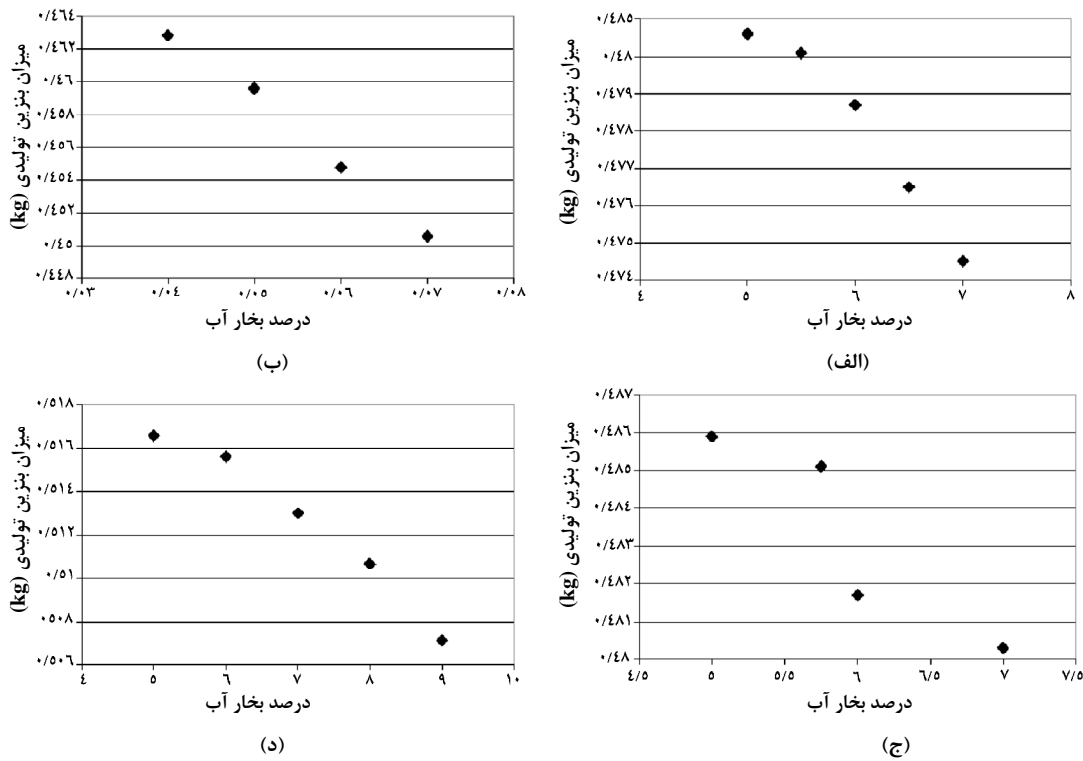
همانطور که در شکل (۱۰) ملاحظه می‌شود افزایش خوراک ورودی به سیستم و ثابت بودن حجم کاتالیزگر ورودی (کاهش نسبت کاتالیزگر به خوراک)، به دلیل عدم تامین گرمای مورد نیاز برای انجام واکنش‌های گرمگیر شکست کاتالیزی، کاهش میزان بنزین تولیدی را به همراه دارد.

به طوری که ملاحظه می‌شود با افزایش ارتفاع راکتور، به دلیل افزایش مدت اقامت بخارات هیدروکربن در داخل راکتور و در نتیجه افزایش مدت تماس، میزان تولید بنزین افزایش می‌یابد. (شکل (۷)).

به طوری که در شکل (۸) ملاحظه می‌شود با کاهش قطر راکتور، به دلیل کاهش سطح مقطع راکتور، سرعت سیال افزایش می‌یابد و در نتیجه این امر منجر به کاهش مدت اقامت بخارات هیدروکربن در داخل راکتور می‌شود که کاهش میزان تولید بنزین را به همراه دارد. افزایش فشار، اثر ناچیزی بر افزایش میزان تبدیل دارد و موجب افزایش اشباع گاز می‌شود، از طرفی میزان تولید کک را

مدل سازی و اکتشاف شکست کاتالیزی سیال بستر و بررسی پارامترهای...

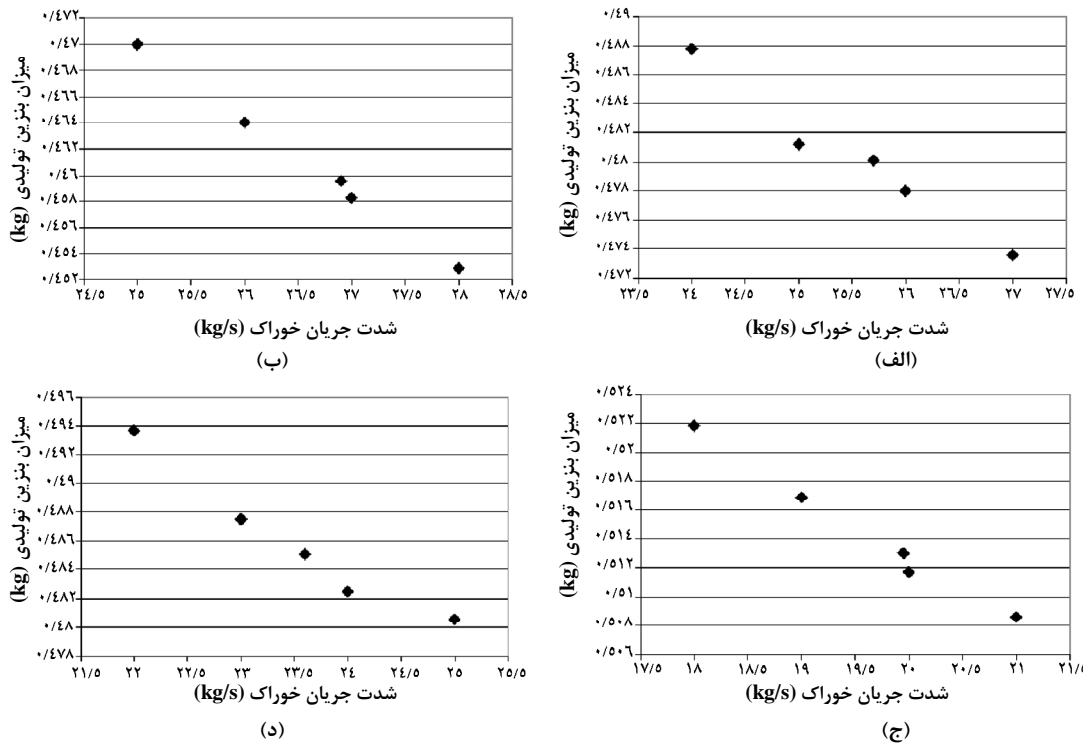




شکل ۹- میزان بanzین تولیدی بر اساس تغییر بخار آب برای هریک از حالت‌های اول تا چهارم

(الف) نتایج مدل با توجه به شرایط عملیاتی حالت اول (ب) نتایج مدل با توجه به شرایط عملیاتی حالت دوم

(ج) نتایج مدل با توجه شرایط عملیاتی حالت سوم (د) نتایج مدل با توجه شرایط عملیاتی حالت چهارم



شکل ۱۰- میزان بanzین تولیدی بر اساس تغییر مقدار خوراک برای هریک از حالت‌های اول تا چهارم ارائه شده در جدول (۶)

(الف) نتایج مدل با توجه به شرایط عملیاتی حالت اول (ب) نتایج مدل با توجه به شرایط عملیاتی حالت دوم

(ج) نتایج مدل با توجه شرایط عملیاتی حالت سوم (د) نتایج مدل با توجه شرایط عملیاتی حالت چهارم

حال با استفاده از نرم افزار مطلب معادلات دیفرانسیل حل می‌شوند که نتایج آن در جدول زیر ارائه شده‌اند.

جدول ۸- نتایج به دست آمده از مدل پیشنهادی

سرعت فضایی	بنزین(%)
۱۰	۵۴/۱۶
۲۰	۴۸/۶۵
۳۰	۴۳/۸۵
۶۰	۳۷/۶۷

ملاحظه می‌شود که با افزایش میزان سرعت فضایی در داخل راکتور، میزان بنزین تولیدی کاهش می‌یابد. از طرفی نیز نتایج قابل قبولی در مقایسه بین نتایج آزمایشگاهی و نتایج حاصل از مدل، به دست آمده است. در این بخش با استفاده از تغییرات جزئی در مقدار پارامترهای موجود در مدل، تاثیر این پارامترها بر عملکرد راکتور واحدهای شکست کاتالیزی سیال بستر بررسی می‌شود. لازم به ذکر است که کلیه تغییرات برای حالت سرعت فضایی، ۱۰ در نظر گرفته می‌شود.

به طوری که در شکل (۱۰) ملاحظه می‌شود با افزایش ارتفاع راکتور، به دلیل افزایش مدت اقامت بخارات هیدروکربن در داخل راکتور و در نتیجه افزایش مدت تماس، میزان تولید بنزین افزایش می‌یابد (الف). همچنین ملاحظه می‌شود که با افزایش چگالی خوراک، میزان تولید بنزین افزایش می‌یابد (شکل (ب)) و با افزایش چگالی کاتالیزگر، میزان تولید بنزین کاهش می‌یابد (شکل (ج)). از طرفی با افزایش دمای درون راکتور، به دلیل سهولت در تأمین گرمای مورد نیاز برای انجام واکنش‌های گرمائیگر شکست کاتالیزی میزان تولید بنزین افزایش می‌یابد (شکل (د)). اما همان طور که قبلًا نیز اشاره شد، این بدان معنا نیست که با افزایش دما بنزین بیشتری تولید خواهد شد، بلکه افزایش دما به میزان بیش از حد مجاز، منجر به انجام واکنش‌های جانبی و تبدیل بنزین به کک می‌گردد.

۶- تغییرات بازدهی بنزین بر اساس ارتفاع راکتور

همان طور که در بخش قبل ملاحظه شد، طبق مدل پیشنهادی برای تغییرات بازدهی محصولات بر اساس ارتفاع راکتور، نتایج خوبی حاصل گردید. در این بخش، مدل دیگری پیشنهاد شده است که به وسیله آن می‌توان تغییرات بازدهی بنزین بر اساس ارتفاع راکتور را مورد بررسی قرار داد.

$$dy_1/dz = (1/WHSV) \times (\rho_L/\rho_C) \times (r_i) \quad (43)$$

حال با استفاده از نتایج آزمایشگاهی به دست آمده در شرایط خاص (API=25.5, COR = ۴, T= ۵۴۸/۹۰°C) و با استفاده از نرم افزار مطلب مدل پیشنهادی بالا مورد بررسی قرار می‌گیرد. نتایج آزمایشگاهی به دست آمده در جدول زیر ارائه شده است.

جدول ۷- نتایج آزمایشگاهی به دست آمده

$$COR = ۴, T = ۵۴۸/۹۰C \quad (44)$$

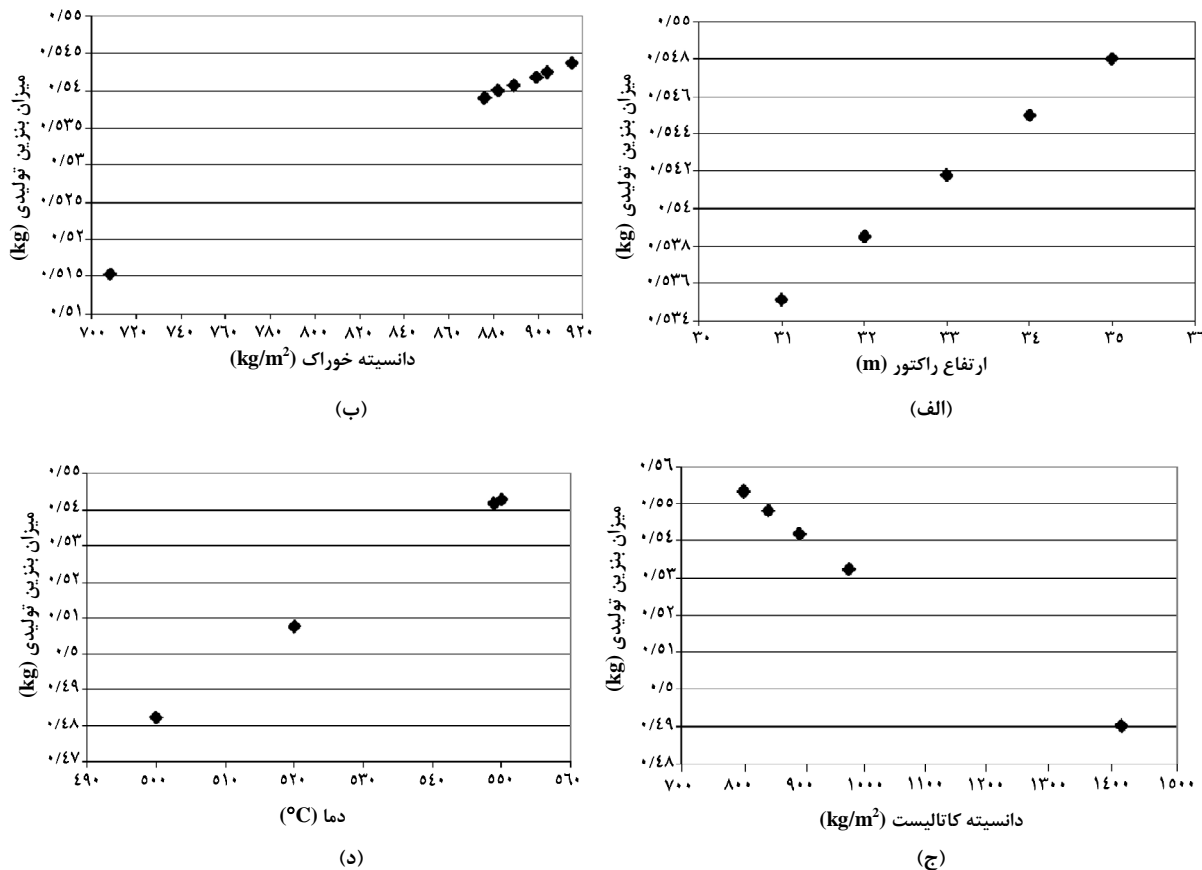
نسبت کاتالیزگر به خوراک ورودی	بنزین(%)
۱۰	۵۴/۱۶
۲۰	۴۸/۶۵
۳۰	۴۳/۸۵
۶۰	۳۷/۶۷

$$dy_1/dz = -(1/WHSV) * (\rho_L/\rho_C) * (k_1 + k_{21} + k_{32}) y_1^{\gamma} \exp(-k_d * t_c) \quad (45)$$

$$dy_2/dz = (1/WHSV) * (\rho_L/\rho_C) * [k_1 y_1^{\gamma} - (k_{21} + k_{22}) y_2] \exp(-k_d * t_c) \quad (46)$$

$$dy_3/dz = (1/WHSV) * (\rho_L/\rho_C) * [k_{31} y_1^{\gamma} + k_{21} y_2] \exp(-k_d * t_c) \quad (47)$$

$$dy_4/dz = (1/WHSV) * (\rho_L/\rho_C) * [k_{32} y_1^{\gamma} + k_{22} y_2] \exp(-k_d * t_c) \quad (48)$$



نمودار ۱۱- میزان میزان بنزین تولیدی با تغییر ارتفاع راکتور (الف)، چگالی خوراک (ب)، کاتالیزگر (ج) و دما (د)

لامپ برای تخمین میزان بازدهی تولید بنزین، گاز و کک در فرایندهای شکست کاتالیزی مورد استفاده قرار گرفت. دقت تخمین روش پیشنهاد شده در زمینه میزان محصولات تولید شده، در مقایسه با مقادیر آزمایشگاهی، دارای انحراف کمتر از ۳٪ است. کلیه ثابت‌های سینتیکی واکنش و ثابت‌های غیر فعال شدن کاتالیزگر با استفاده از روش ساده خطی‌سازی^۱ و داده‌های آزمایشگاهی به دست آمده از راکتور آرچچک محاسبه شده‌اند.

علاوه بر این، روشی برای تخمین تغییرات بازدهی هر یک از محصولات، نسبت به ارتفاع راکتور پیشنهاد شده است. مقادیر به دست آمده از مدل پیشنهادی در مقایسه با هر یک از چهار حالت آزمایشگاهی نتایج قابل قبولی را ارائه داده است.

۷- نتیجه‌گیری

مدل پیشنهادی برای تخمین تغییرات بازدهی هر یک از محصولات نسبت به زمان، در واکنش‌های فرایند شکست کاتالیزی سیال بستر، در مقایسه با داده‌های آزمایشگاهی به دست آمده از راکتور آزمایشگاهی کوچک، کاربرد موفقیت آمیزی را از خود به اثبات می‌رساند.

داده‌های آزمایشگاهی با استفاده از یک مدل سینتیکی پنج لامپ بیان شده‌اند. علاوه بر این، تخمین میزان پروپیان و بوتان، گاز خشک و کک به طور جداگانه، می‌تواند در زمینه طراحی و شبیه سازی کمپرسور گاز در واحدهای شکست کاتالیزی سیال بستر و در زمینه مطالعات در مورد غیر فعال شدن کاتالیزگرها مورد استفاده قرار گیرد.

در این بررسی، یک مدل ساده با استفاده از مدل سینتیکی چهار

1. Linear Regression

مدل سازی و اکتشاف شکست کاتالیزی سیال بستر و بررسی پارامترهای...

- [4] Achevta, J., Murillo, J., "A Simple Method for Estimating Gasoline, Gas and Coke Yields in FCC Process," Energy & Fuel, 14, 373-379, (2000).
- [5] Ancheteta, J., Lopez, F., "5-Lump Kinetic Model for Gas Oil Catalytic Cracking," Applied Catalysis A, 177, 227-235, (1999).
- [6] Ancheteta, J., Lopez, F., "Analysis of Deactivation Model Based on Time-on- Stream (TOS) Theory for Fluid Catalytic Cracking Process", Revista De La Sociedad Quimica De Mexico, 44, 183-187, (2000).
- [7] Bollas, G., Vasalos, I., "Modeling Small-Diameter FCC Riser Reactors. A Hydrodynamic and Kinetic Approach", Ind. Eng. Chem. Res, 41, 5410-5419, (2002).
- [8] Corella, J., Bilbao, R., "Variation with Time of the Mechanism, Observable Order, and Activation Energy of the Catalyst Deactivation by Coke in the FCC Process", Ind. Eng. Chem. Process Des. Dev, 24, 625-636, (1985).
- [9] Bollas, G.M., Lappas, A.A., Iatridis, D.K., "Five Lump Kinetic Model with Selective Catalyst Deactivation for the Prediction of the Product Selectivity in the Fluid Catalytic Cracking Process", Catalysis Today, 127, 31-43, (2007).
- [10] Hany, A., Rohani, S., "Modeling and Control of a Riser Type Fluid Catalytic Cracking (FCC) Unit", Trans. IChemE, 75, 380-395, (1997).
- [11] Hany, A., Rohani, S., "Dynamic Modeling and Simulation of a Riser-Type Fluid Catalytic Cracking Unit", Chem. Eng. & Technology, 20, 118-130, (1997).
- [12] Jacob et. al., "A Lumping and Reaction Scheme for Catalytic Cracking", AIChE J., 22 , 701-713, (1976).
- [13] Lee, L. S.; Chen, Y. W., "Four Lump Kinetic Model for FCC Process", Can. J. Chem. Eng., 67, 615-619, (1989).
- [14] Martin et.al., "Catalytic Cracking in Riser Reactors", Chem. Eng. Sci ., 47 , 2319-2324, (1999).
- [15] Sadeghzadeh Ahari, J., Farshi, A., Forsat, K., "A Mathematical Modeling of the Riser Reactor In Industrial FCC Unit", Petroleum & Coal, 50, 15-24, (2008).
- [16] Takatsuka, T.; Sato, S., "A Reaction Model for Fluidized-bed Catalytic Cracking of Residual oil", Int. Chem. Eng, 27 , 107-116, (1987).
- [17] Weekman, V.M., "A Model of Catalytic Cracking Conversion in Fixed, Moving and Fluid – bed Reactors.", Ind. Eng. Chem. Prod. Res. Dev, 7, 90-95, (1968).

فهرست علائم و نشانه‌ها

ثابت بی اثرسازی (s^{-1})	k_d
ثابت سینتیکی برای شکست یا تشکیل جزء i	k_i
زمان (sec)	t
مدت اقامت کاتالیزگر (sec)	t_c
بازدهی گازوئیل (جزء وزنی)	y_1
بازدهی بنزین (جزء وزنی)	y_2
بازدهی مخلوط پروپان و بوتان (جزء وزنی)	y_3
بازدهی کک (جزء وزنی)	y_4
بازدهی گاز خشک (جزء وزنی)	y_5
تابع بی اثرسازی	ϕ
سرعت فضایی (h^{-1})	WHSV
درصد تبدیل (-)	X
سطح راکتور بالابر (m^2)	A_R
شدت جریان جرمی گازهای هیدروکربنی در راکتور بالابر	F_{gR}
($kg/m^2.sec$)	
شدت جریان جرمی کاتالیزگر در راکتور بالابر	F_{sR}
($kg/m^2.sec$)	
ثابت گرانشی ($m/m^2.sec$)	g
طول راکتور بالابر (m)	L_R
فاصله محوری بدون بعد در راکتور بالابر (-)	Z
کسر خالی گازهای هیدروکربنی در راکتور بالابر (-)	ϵ_{gR}

مراجع

- [1] Abul-Hamyel, M., "Kinetic Modeling of High-Severity Fluidized Catalytic Cracking", Fuel, 82, 1113-1118, (2003).
- [2] Abul-Hamyel, M., Abdul-Bari, M., "Experimental Determination of High-Severity Fluidized Catalytic Cracking (HS-FCC) Deactivation Constant", Applied Catalysis A, 237, 71-80, (2002).
- [3] Ancheteta, J., Lopez, F., Aguilar, E., "A Strategy for Kinetic Parameter Estimation in the Fluid Catalytic Cracking Process", Ind. Eng. Chem. Res, 36, 5170-5174, (1997).